

Задание 1. «Дырявая разминка»

Задача 1.1

Напряженность электрического поля внутри однородно заряженного с плотностью ρ цилиндра можно найти по теореме Гаусса.

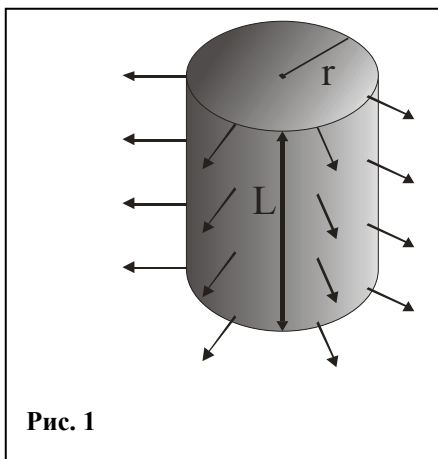


Рис. 1

$$E = \frac{\rho r}{2\epsilon_0} \quad (1)$$

или в векторной форме

$$\vec{E} = \frac{\rho \vec{r}}{2\epsilon_0} \quad (2)$$

Распределение потенциала внутри цилиндра рассчитаем как

$$\varphi = -\int E(r)dr = -\frac{\rho r^2}{4\epsilon_0} + C \quad (3)$$

Поле внутри малого цилиндра нетрудно найти при помощи метода наложений,

представив его как сумму полей сплошного цилиндра радиуса R_1 с плотностью заряда ρ_1 и цилиндра радиуса R_2 с плотностью заряда $\rho_2 - \rho_1$ (рис.2).

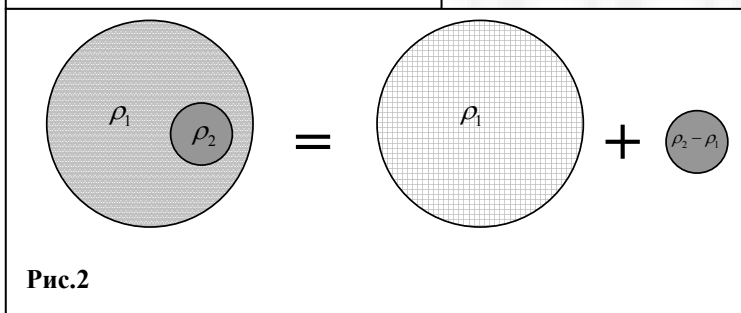


Рис.2

В произвольной точке А с радиус-вектором \vec{r}_1 относительно оси большего цилиндра и \vec{r}_2 относительно оси малого (рис. 3) поле равно:

$$\vec{E}_0 = \vec{E}_1 + \vec{E}_2 = \frac{\rho_1 \vec{r}_1}{2\epsilon_0} + \frac{(\rho_2 - \rho_1) \vec{r}_2}{2\epsilon_0} = \frac{\rho_1 (\vec{r}_1 - \vec{r}_2)}{2\epsilon_0} + \frac{\rho_2 \vec{r}_2}{2\epsilon_0} = \left\{ \vec{r}_1 - \vec{r}_2 = \vec{a} \right\} = \frac{\rho_1 \vec{a}}{2\epsilon_0} + \frac{\rho_2 \vec{r}_2}{2\epsilon_0} \quad (4)$$

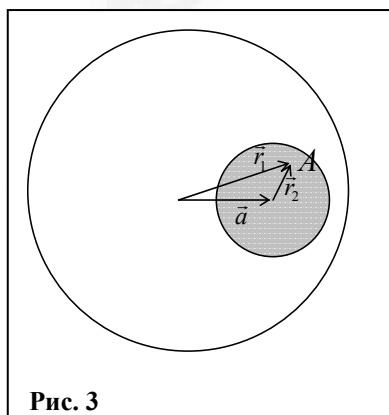


Рис. 3

т.е. поле внутри меньшего цилиндра представляет собой суперпозицию постоянного поля и поля, линейно зависящего от \vec{r}_2 .

Для дальнейших рассуждений выберем систему координат xOy с началом отсчета на оси малого цилиндра (рис. 4) и выразим в явном виде распределение потенциала внутри малого цилиндра

Распределение потенциала, соответствующее постоянному полю описывается формулой

$$\varphi_1 = -\frac{\rho_1}{2\epsilon_0} ax + C_1 \quad (4)$$

а распределение потенциала, соответствующее полю, линейно зависящему от радиус-вектора

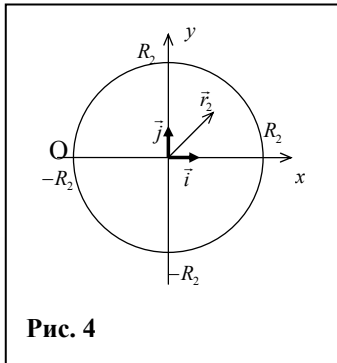


Рис. 4

$$\varphi_2 = -\frac{\rho_2 r_2^2}{4\varepsilon_0} + C_2 = -\frac{\rho_2(x^2 + y^2)}{4\varepsilon_0} + C_2 \quad (5)$$

Таким образом, потенциал внутри малого цилиндра описывается формулой

$$\varphi = \varphi_1 + \varphi_2 = -\left[\frac{\rho_1 a x}{2\varepsilon_0} + \frac{\rho_2(x^2 + y^2)}{4\varepsilon_0}\right] + C \quad (6)$$

Очевидно, линии равного потенциала в данном случае – окружности. Действительно, после очевидных математических преобразований функцию (6) можно переписать в следующем виде

$$\varphi = -\frac{\rho_2}{4\varepsilon_0}\left[\left(x + \frac{\rho_1}{\rho_2}a\right)^2 + y^2\right] + \frac{\rho_2}{4\varepsilon_0}\left(\frac{\rho_1}{\rho_2}a\right)^2 + C \quad (7)$$

откуда видно, что центр эквипотенциальных окружностей находится в точке $\left(-\frac{\rho_1}{\rho_2}a, 0\right)$, которая в нашем случае

(поскольку $\frac{\rho_1}{\rho_2}a = \frac{7,08}{1,77}5,0\text{см} = 2,0\text{см} = R_2$) будет находиться

в точке O (рис. 4) – на границе малого цилиндра.

Вид эквипотенциальных линий приведен на рис. 5.

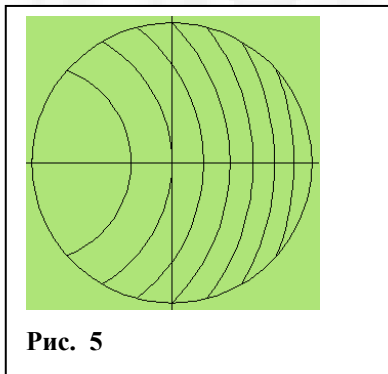


Рис. 5

Задача 1.2

Прежде всего, необходимо найти плотность тока в большом и малом цилиндрах, что сводится к решению задачи о параллельном соединении резисторов.

Токи, текущие в большом и малом цилиндрах соответственно равны

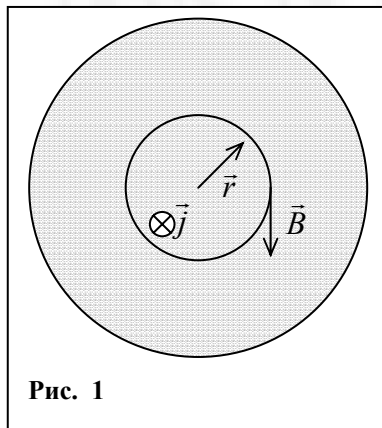
$$I_1 = I \frac{r_2}{r_1 + r_2} = I \frac{\rho_2 \frac{L}{\pi R_2^2}}{\rho_1 \frac{L}{\pi(R_1^2 - R_2^2)} + \rho_2 \frac{L}{\pi R_2^2}} = I \frac{1}{1 + \frac{\rho_1}{\rho_2} \frac{R_2^2}{R_1^2 - R_2^2}} \quad (1)$$

$$I_2 = I \frac{r_1}{r_1 + r_2} = I \frac{\rho_1 \frac{L}{\pi(R_1^2 - R_2^2)}}{\rho_1 \frac{L}{\pi(R_1^2 - R_2^2)} + \rho_2 \frac{L}{\pi R_2^2}} = I \frac{1}{1 + \frac{\rho_2}{\rho_1} \frac{R_1^2 - R_2^2}{R_2^2}} \quad (2)$$

Плотность тока в большом и малом цилиндрах соответственно:

$$j_1 = \frac{I_1}{\pi(R_1^2 - R_2^2)} = \frac{I}{\pi(R_1^2 - R_2^2)} \frac{1}{1 + \frac{\rho_1}{\rho_2} \frac{R_2^2}{R_1^2 - R_2^2}} \quad (3)$$

$$j_2 = \frac{I_2}{\pi R_2^2} = \frac{I}{\pi R_2^2} \frac{1}{1 + \frac{\rho_2}{\rho_1} \frac{R_1^2 - R_2^2}{R_2^2}} \quad (4)$$



Численные расчеты приводят к результатам

$$j_1 = 3,37 \cdot 10^4 \text{ A/m}^2$$

$$j_2 = 2,70 \cdot 10^5 \text{ A/m}^2$$

Магнитное поле внутри цилиндра, по которому течет ток с плотностью \vec{j} можно найти по теореме о циркуляции вектора магнитной индукции:

$$B = \frac{\mu_0 j}{2} r \quad (5)$$

Что удобно представить в векторном виде

$$\vec{B} = \frac{\mu_0}{2} [\vec{j} \times \vec{r}] = \frac{\mu_0 j}{2} [\vec{n} \times \vec{r}] \quad (6)$$

где \vec{n} — единичный вектор, сонаправленный с вектором \vec{j} .

Магнитное поле внутри малого цилиндра нетрудно найти при помощи метода наложений, представив его как сумму полей сплошного цилиндра радиуса R_1 с плотностью протекающего тока j_1 и цилиндра радиуса R_2 с плотностью протекающего тока $j_2 - j_1$ (рис.2).

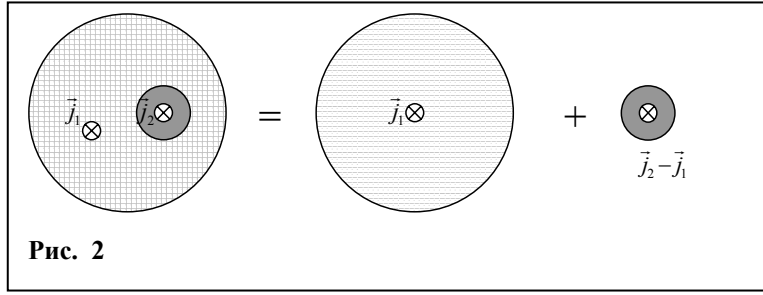


Рис. 2

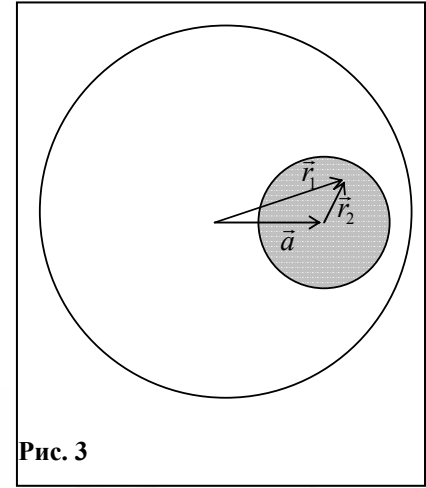


Рис. 3

В точке А с радиус-вектором \vec{r}_1 относительно оси большего цилиндра и \vec{r}_2 относительно оси малого (рис.3) поле равно:

$$\begin{aligned}\vec{B} &= \vec{B}_1 + \vec{B}_2 = \frac{\mu_0 j_1}{2} [\vec{n} \times \vec{r}_1] + \frac{\mu_0 (j_2 - j_1)}{2} [\vec{n} \times \vec{r}_2] = \\ &= \frac{\mu_0 j_1}{2} [\vec{n} \times (\vec{r}_1 - \vec{r}_2)] + \frac{\mu_0 j_2}{2} [\vec{n} \times \vec{r}_2] = \frac{\mu_0 j_1}{2} [\vec{n} \times \vec{a}] + \frac{\mu_0 j_2}{2} [\vec{n} \times \vec{r}_2]\end{aligned}\quad (7)$$

т.е. поле внутри меньшего цилиндра представляет собой суперпозицию постоянного поля и кругового поля, модуль которого линейно зависит от \vec{r}_2 .

Выберем систему координат xOy с началом отсчета на оси малого цилиндра (рис.6). Векторы \vec{i}, \vec{j} — орты системы координат.

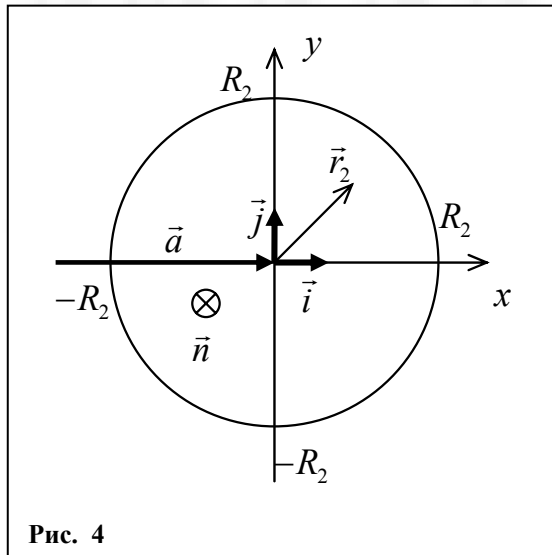


Рис. 4

Векторные произведения, фигурирующие в этих выражениях представим в явном виде

$$\vec{n} \times \vec{a} = a[\vec{n} \times \vec{i}] = -a\vec{j} \quad (8)$$

$$\vec{n} \times \vec{r}_2 = [\vec{n} \times (x\vec{i} + y\vec{j})] = y\vec{i} - x\vec{j} \quad (9)$$

Вектор индукции магнитного поля запишется в виде

$$\begin{aligned}\vec{B} &= -\frac{\mu_0 j_1 a}{2} \vec{j} + \frac{\mu_0 j_2}{2} (y\vec{i} - x\vec{j}) = \\ &= \frac{\mu_0 j_2}{2} y\vec{i} - \frac{\mu_0}{2} (j_1 a + j_2 x) \vec{j}\end{aligned}\quad (10)$$

При плотностях токов (3), (4) магнитное поле равно нулю в точке с координатами

$$x_0 = -\frac{j_1}{j_2} a = -\frac{3,37 \cdot 10^4}{2,70 \cdot 10^5} 2,0 \text{ мм} = -0,25 \text{ мм} = -R_2$$

$$y_0 = 0$$

Итого, магнитная индукция в малом цилиндре равна

$$\vec{B} = \frac{\mu_0 j_2}{2} y\vec{i} - \frac{\mu_0 j_2}{2} (x + R_2) \vec{j} = \frac{\mu_0 j_2}{2} (y\vec{i} - (x + R_2) \vec{j}) \quad (11)$$

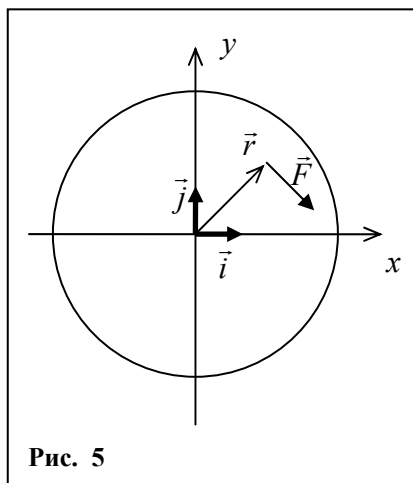


Рис. 5

Силовые линии такого поля представляют собой окружности с центром в точке $(-R_2; 0)$.

Дополнения.

1. Силовой линией называется такая кривая, касательная к которой в любой точке сонаправлена с полем. Очевидно, что если магнитная индукция перпендикулярна радиус-вектору в любой точке, то силовые линии такого поля – окружности (для любой точки окружности касательная перпендикулярна радиусу, проведенную в данную точку).

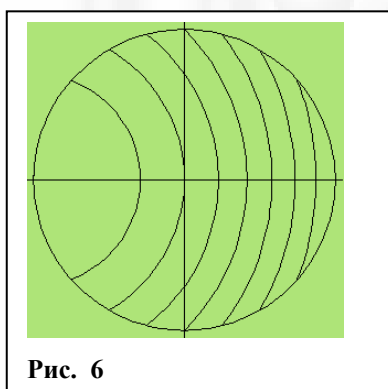


Рис. 6

Как раз такая ситуация будет в нашем случае, если начало координат перенести в точку $(-R_2; 0)$. Вид силовых линий изображен на рисунке 6.

Для более строгого доказательства рассмотрим векторное поле $\vec{F} = y\vec{i} - x\vec{j}$ (рис. 5). Получим уравнение силовых линий для данного поля.

В каждой точке силовой линии поле направлено по касательной к ней. Т.е. тангенс угла наклона силовой линии к оси абсцисс равен отношению y-компоненты поля к x-компоненте поля.

$$\frac{dy}{dx} = \frac{F_y}{F_x} \quad (12)$$

Для удобства запоминания данное соотношение лучше записать в таком виде

$$\frac{dx}{F_x} = \frac{dy}{F_y} \quad (13)$$

тем более, что уравнения силовой линии в трехмерном случае выглядят аналогично:

$$\frac{dx}{F_x} = \frac{dy}{F_y} = \frac{dz}{F_z} \quad (14)$$

(Обратите внимание, здесь два уравнения, а не одно!)

В данном случае

$$\frac{dy}{dx} = -\frac{x}{y} \quad (15)$$

$$ydy = -xdx; \quad (16)$$

$$xdx + ydy = 0; \quad (17)$$

$$d\left(\frac{x^2 + y^2}{2}\right) = 0; \quad (18)$$

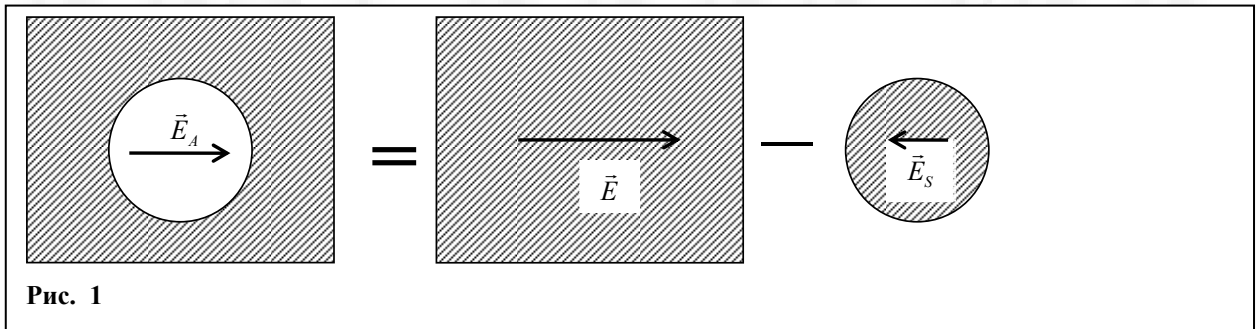
$$x^2 + y^2 = C^2 \quad (19)$$

Это и есть семейство окружностей радиуса C .

2. Обратите внимание, насколько эти две задачи похожи!

Задача 1.3

Среднее электрическое поле \vec{E}_A внутри сферы найдем, как поле равномерно поляризованного диэлектрика \vec{E} за вычетом поля, создаваемого равномерно поляризованным шаром \vec{E}_S (рис.2).



Поле \vec{E}_S направлено противоположно \vec{E} — это видно из того, что

$$\vec{E}_S = -\frac{\vec{P}}{3\epsilon_0} \quad (17) \text{ и } \vec{P} = (\epsilon - 1)\epsilon_0 \vec{E} \quad (18)$$

то есть ($\epsilon > 1$)

$$\vec{E}_S = -\frac{(\epsilon - 1)\vec{E}}{3} \quad (19)$$

Интересующее нас поле

$$\vec{E}_A = \vec{E} - \vec{E}_S = \vec{E} - \left(-\frac{(\epsilon - 1)\vec{E}}{3}\right) = \left(1 + \frac{\epsilon - 1}{3}\right)\vec{E} = \frac{\epsilon + 2}{3}\vec{E} \quad (20)$$

Именно это поле воздействует на молекулы внутри сферы в нашей модели и индуцирует в них дипольный момент

$$\vec{p} = \beta\epsilon_0 \vec{E}_A = \beta\epsilon_0 \frac{\epsilon + 2}{3}\vec{E} \quad (21).$$

Очевидно, что поляризация (дипольный момент единицы объема вещества) равна дипольному моменту одной молекулы, умноженному на число молекул в единице объема, т.е. концентрацию молекул:

$$\vec{P} = n\vec{p} = n\beta\epsilon_0 \frac{\epsilon + 2}{3}\vec{E} \quad (22)$$

Выражения (2) и (6) дают нам следующее равенство:

$$(\varepsilon - 1)\varepsilon_0 \vec{E} = n\beta\varepsilon_0 \frac{\varepsilon + 2}{3} \vec{E} \quad (23)$$

из которого определяем диэлектрическую проницаемость

$$\varepsilon = \frac{1 + n\beta \frac{2}{3}}{1 - \frac{n\beta}{3}} = \frac{3 + 2n\beta}{3 - n\beta} = \frac{3 - n\beta + 3n\beta}{3 - n\beta} = 1 + \frac{3n\beta}{3 - n\beta} \quad (24)$$

Дополнение.

Полученная формула, конечно, носит приближённый характер, что вытекает из принятых в задаче приближений. Первое из них – это рассмотрение точечных диполей, что не совсем верно для веществ, состоящих из сложных молекул. Но, в любом случае, такое приближение выглядит вполне приемлемо по сравнению с выбором именно сферической полости. Заметим, что для кристаллов с кубической решёткой данное приближение выполняется точно. Т.е., действительно, поле создаваемое диполями, находящимися внутри сферы, равно нулю в центре этой сферы (без учёта поля диполя, расположенного в центре). Но точно такая же ситуация будет реализовываться если выбрать полость кубической формы. Выбор именно сферы обоснован экспериментальным подтверждением полученной формулы для большинства газообразных и жидких диэлектриков. Например, для сероуглерода формула верна как для газообразного состояния, так и для жидкого, когда концентрация молекул возрастает в 380 раз.

Подчеркнём также, что полученная формула верна только для веществ состоящих из неполярных молекул. В веществах, состоящих из полярных молекул, влияние соседних молекул существенно и приведённый выше подход оказывается верным только для очень разреженных газов.